

5. Рыбаков А. П. Исследование откольных явлений в конденсированных телах.— В сб.: Критические явления. Физико-химические превращения. Черноголовка, АН СССР, 1978.
6. Bull T. H. The tensile strengths of liquids under dynamic loading.— Philos. Mag., 1956, vol. 1, ser. 8, N 2.
7. Erlich D. C., Wooten D. C., Crewdson R. C. Dynamic tensile of glycerol.— J. Appl. Phys., 1971, vol. 42, N 13.
8. Carlson G. A., Henry K. W. Technique for studying dynamic tensile failure in liquids: application to glycerol.— J. Appl. Phys., 1973, vol. 44, N 5.
9. Carlson G. A. Dynamic tensile strength of mercury.— J. Appl. Phys., 1975, vol. 46, N 9.
10. Carlson G. A., Levine H. S. Dynamic tensile strength of glycerol.— J. Appl. Phys., 1975, vol. 46, N 4.
11. Kauzman W. The nature of the glassy state and the behavior of liquids at low temperatures.— Chem. Rev., 1948, vol. 43, N 2.
12. Исаакович М. А., Чабан И. А. Распространение волн в сильно вязких жидкостях.— ЖЭТФ, 1966, т. 50, вып. 5.
13. Piccerelly R., Littovitz T. A. Ultrasonic shear and compressional relaxation in liquid glycerol.— J. Acoust. Soc. Amer., 1957, vol. 29, N 9.
14. Белинский Б. А., Лазаренко Л. М. Поглощение и дисперсия ультразвука в расплаве абиетиновой кислоты.— Акуст. журнал, 1975, т. XXI, вып. 3.
15. Nahmaini G. Experimental investigation of scabbing produced in mild steel plates by plane stress waves.— In: Les Ondes De Detonation. Paris, 1961.
16. Тарасов Ю. И. Исследование зависимости времени разрушения от растягивающей нагрузки для стали и меди.— ДАН СССР, 1965, т. 165, № 2.
17. Альтшулер Л. В., Новиков С. А., Дивнов И. И. Связь критических разрушающих напряжений со временем разрушения при взрывном нагружении металлов.— ДАН СССР, 1966, т. 166, № 1.
18. Иванов А. Г., Минеев В. Н. О масштабном критерии при хрупком разрушении конструкций.— ДАН СССР, 1975, т. 220, № 3.
19. Иванов А. Г. Откол в квазиакустическом приближении.— ФГВ, 1975, № 3.
20. Иванов А. Г., Минеев В. Н. О масштабных эффектах при разрушении.— ФГВ, 1979, № 5.
21. Иванов М. А. Температурная зависимость удельной работы разрушения меди и стали.— ФГВ, 1979, № 4.
22. Батыков Ю. В., Новиков С. А. и др. Влияние температуры образца на величину разрушающих напряжений при отколе в алюминиевом сплаве АМГ-6.— ПМТФ, 1979, № 3.

УДК 534.222

## ВЛИЯНИЕ КАМУФЛЕТНОГО ВЗРЫВА НА ФИЛЬТРАЦИОННЫЕ ХАРАКТЕРИСТИКИ ХРУПКОЙ СРЕДЫ

B. B. Кадет, Е. Е. Ловецкий, В. И. Селяков,

B. K. Сироткин

(Москва)

В настоящее время взрывы находят все более широкое применение в народном хозяйстве. Они, в частности, широко применяются в целях интенсификации нефтяных и газовых скважин. При этом большой интерес представляют фильтрационные свойства среды в окрестности взрыва. Необходимо отметить, что теоретическое изучение фильтрационных свойств среды является особенно важным, поскольку их экспериментальное исследование весьма затруднительно.

Однако в настоящее время практически отсутствуют работы, в которых рассматриваются фильтрационные характеристики среды после взрыва на основе физической картины воздействия камуфлетного взрыва на окружающую породу. Так, например, в работе [1] сделана попытка феноменологически описать единой зависимостью коэффициент проницаемости среды после проведения камуфлетного взрыва как в зоне дробления, так и в зоне радиальной трещиноватости. Но результаты этой работы неудовлетворительно согласуются с экспериментом [2], поскольку при рассмотрении не были учтены конкретные механизмы динамического воздействия взрыва на среду.

В данной работе определяются фильтрационные свойства среды после проведения камуфлетного взрыва в хрупкой слабопористой породе с малым начальным коэффициентом проницаемости. При рассмотрении этой задачи необходимо учитывать, что при камуфлетном взрыве образуются три существенно отличающиеся по своей структуре зоны: зона дробления, зона радиальных трещин и зона упругих деформаций [3]. В зоне дробления за счет больших напряжений на фронте ударной волны происходит разрушение породы. Последующее движение раздробленной среды приводит к ее разрыхлению. Это разрыхление можно объяснить эффектом дилатансии [4], который проявляется в изменении плотности среды под действием сдвиговых деформаций. На небольших глубинах заложения в зоне дробления может примыкать зона радиальных трещин, возникающих за счет растягивающих азимутальных напряжений. Для оценки пористости в этой зоне можно воспользоваться моделью упругих стержней [3]. И, наконец, можно считать, что в зоне упругих деформаций изменения свойств породы малы.

Коэффициент проницаемости, вычисленный на основе таких представлений о характере воздействия камуфлетного взрыва на окружающую среду, сравнивается с экспериментальными данными по взрыву «Хардхэт» [2].

**Зона дробления.** Рассмотрим фильтрационные свойства среды в зоне дробления. В литературе существует большое число теоретических и эмпирических выражений для расчета коэффициента проницаемости разрушенной породы, однако наиболее общепринятой является формула Козени [1, 5, 6]:

$$(1) \quad K = C/\tau \cdot m^3/\Sigma^2,$$

где  $m$  — пористость;  $\Sigma$  — удельная поверхность кусков;  $C$  — константа, связанная с геометрией сечения норовых каналов;  $\tau$  — коэффициент извилистости. В случае, когда форма кусков близка к кубической, удельную поверхность можно связать с характерным размером куска  $\Sigma = 6(1-m)d$ . Тогда, принимая для  $C$  и  $\tau$  их наиболее типичные значения ( $C \approx 0,5$ ,  $\tau \approx 2$ ), из соотношения (1) получим

$$(2) \quad K = 0,7 \cdot 10^{-2} m^3 d^2 / (1 - m)^2.$$

Таким образом, чтобы определить фильтрационные свойства среды в зоне дробления, необходимо знать как ее пористость, так и размеры кусков раздробленной породы.

В данной работе рассматриваются фильтрационные свойства среды после взрыва в первоначально монолитной хрупкой породе. Примером подобной среды является слабопористая горная порода, например гранит. Пористость в зоне дробления возникает за счет разрушения и последующего движения разрушенной породы при взрыве. Основным механизмом разрыхления разрушенных горных пород является эффект дилатансии, связанный с изменением удельного объема за счет сдвиговых деформаций [4]. В этом случае, пренебрегая упругой сжимаемостью, изменение пористости  $m$  можно представить в виде

$$dm = (1 - m)\Lambda |d\gamma|,$$

где  $\Lambda$  — коэффициент дилатансии;  $d\gamma$  — изменение сдвиговых деформаций.

Задача о взрыве в дилатирующей среде была решена в работе [7] для случая постоянного коэффициента дилатансии. Воспользовавшись результатом этой работы, в случае монолитной породы получим выражение для пористости

$$(3) \quad m(r) = 1 - \left[ 1 - \left( \frac{a}{r} \right)^n + \left( \frac{a_0}{r} \right)^n \right]^{\Lambda}, \quad n = 3/(1 + \Lambda),$$

где  $a_0$  и  $a$  — начальный и конечный радиусы полости. Отметим, что на больших расстояниях от границы полости пористость изменяется по степенному закону  $m(r) \sim r^{-n}$ .

Для того чтобы оценить средний размер кусков раздробленной породы, предположим, что разрушение происходит на фронте ударной волны в результате развития микротрещин, уже имеющихся в породе. Согласно критерию Гриффитса [8], рости при этом будут лишь те микротрещины, размер которых превышает некоторую предельную длину  $l(\sigma)$ , зависящую от приложенного напряжения по закону

$$(4) \quad l(\sigma) = k/\sigma^2.$$

Тогда размер куска раздробленной породы будет определяться расстоянием между растущими микротрещинами. Вводя функцию  $N(l)$ , определяющую плотность микротрещин с длиной, превышающей  $l$ , с учетом (4) получим выражение для среднего размера куска раздробленной породы

$$(5) \quad d(\sigma) = N^{1/3}(l(\sigma)) = N^{1/3}(k/\sigma^2),$$

где  $\sigma$  — напряжение на фронте волны. Таким образом, зная плотность микротрещин и характер изменения  $\sigma$  с расстоянием, можно определить зависимость среднего размера куска от расстояния.

Дальнейшие вычисления будут проводиться в предположении, что функция  $N(l)$  имеет экспоненциальный вид. В этом случае из соотношения (5) можно получить выражение

$$(6) \quad d(\sigma) = d_0 \exp\left(\frac{\sigma_*^2}{\sigma^2}\right),$$

где  $d_0$  — минимальное расстояние между микротрещинами, а величина  $\sigma_*$  определяется средней длиной микротрещин:

$$\sigma_*^2 = k/\langle l \rangle.$$

Эта величина является внутренним параметром среды и не зависит от мощности взрыва.

Выражение (6) справедливо только в случае, когда длительность волны нагрузки значительно превышает время роста трещин. В противном случае микротрещины не успевают прорости и дробления происходить не будет. Поэтому максимальный размер куска будет определяться шириной волны нагрузки, которая при взрыве оказывается порядка  $a_0$ . Таким образом, для максимального размера кусков  $d_m$  в зоне дробления имеется соотношение

$$(7) \quad d_m = \alpha a_0,$$

где величина  $\alpha \lesssim 1$ .

Используя соотношения (6), (7), получим выражение, определяющее напряжение в волне на границе зоны дробления ( $r = R_1$ ):

$$(8) \quad \sigma(R_1) = \sigma_* \ln^{-1/2} (d_m/d_0) = \sigma_* [\ln (\alpha a_0/d_0)]^{-1/2}.$$

Эту величину можно отождествить с эффективной прочностью породы при взрыве. Как видно, она довольно слабо зависит от мощности взрыва  $W(\sigma(R_1) \sim \ln^{-1/2} (W))$  и с ростом  $W$  плавно убывает.

Величина  $\sigma(R_1)$  определяет связь между размером зоны дробления и конечным радиусом полости [3]:

$$(9) \quad R_1 = a \left( \frac{E}{\sigma(R_1) n} \right)^{1/n} = a \left( \frac{E}{\sigma_* n} \right)^{1/n} [\ln (d_m/d_0)]^{1/2n}.$$

Легко видеть, что отношение  $R_1/a$  также зависит от масштаба взрыва. При небольших вариациях мощности взрыва это отношение можно считать постоянным. В то же время соотношение (9) показывает, что необ-

ходимо с осторожностью подходить к переносу результатов лабораторных испытаний на натурные взрывы.

Для того чтобы определить зависимость размера кусков и, следовательно, коэффициента проницаемости от расстояния, необходимо знать характер затухания с расстоянием ударной волны. Как показывают результаты многочисленных расчетов, затухание ударной волны в зоне дробления происходит по степенному закону  $\sigma(r) \sim r^{-\beta}$ . Тогда, учитывая связь между лагранжевым и эйлеровым радиусами частиц [7], из соотношений (6), (8) получим

$$(10) \quad d(r) = d_0 \exp \left\{ \left( \frac{\xi^n + \xi_0^n - 1}{\xi_*^n + \xi_0^n - 1} \right)^{2\beta/n} \ln \left( \frac{d_m}{d_0} \right) \right\},$$

где введены безразмерные расстояния:  $\xi = r/a$ ,  $\xi_0 = a_0/a \ll 1$  и  $\xi_* = R_1/a$ . В выражении (10) величиной  $\xi_0^n$  можно пренебречь, если не интересоваться областью в непосредственной близости от полости ( $r - a \sim a\xi_0^n/n \sim 10^{-3}a$ ).

Подставляя соотношения (3), (10) в (2) и учитывая, что  $m \ll 1$ , получим окончательное выражение для коэффициента проницаемости в зоне дробления

$$(11) \quad K_1(\xi) = 0,7 \cdot 10^{-2} d_0^\xi [1 - (1 - \xi^{-n})^\Delta]^3 \exp \left[ 2 \left( \frac{\xi^n - 1}{\xi_*^n - 1} \right)^{2\beta/n} \ln \frac{d_m}{d_0} \right].$$

Как видно из этого соотношения, поведение коэффициента проницаемости в зоне дробления как функции расстояния определяется конкуренцией двух факторов. С одной стороны, уменьшение пористости с ростом  $\xi$  приводит к уменьшению коэффициента проницаемости. Характер этой связи имеет универсальную форму и не зависит от масштаба взрыва (если выполняется условие  $\xi_0^n \ll 1$ ). С другой стороны, увеличение размера кусков раздробленной породы приводит к росту проницаемости. Эта зависимость существенно связана с масштабом взрыва и определяется отношением  $d_m/d_0$ .

Если отношение  $d_m/d_0$  близко к 1, то  $K_1(\xi)$  в зоне дробления будет монотонно спадать с расстоянием. С ростом этого отношения в области  $\xi$ , близких к  $\xi_*$ , будет происходить выполнование зависимости  $K_1(\xi)$ . Наконец, при выполнении неравенства  $\ln(d_m/d_0) > 3n/4\beta$  коэффициент проницаемости становится немонотонной функцией расстояния: в зоне дробления у функции  $K_1(\xi)$  появляется минимум. Координата этого минимума в предположении, что  $\xi_m^n \gg 1$ , будет даваться соотношением

$$\xi_m = \xi_* \left[ \frac{3n}{4\beta \ln(d_m/d_0)} \right]^{1/2\beta}.$$

Как видно из приведенного выражения, с ростом масштаба взрыва координата минимума будет смещаться в сторону меньших расстояний.

**Зона радиальных трещин.** Во многих случаях при камуфлетном взрыве за зоной дробления может возникать зона радиальных трещин. Радиальные трещины появляются за счет растягивающих азимутальных напряжений. Квазистатическая оценка [3] дает следующее соотношение между радиусом зоны дробления  $R_1$  и радиусом зоны радиальных трещин  $R_2$ :

$$(12) \quad R_2 = R_1 \sqrt{\frac{\sigma(R_1)}{2\sigma_0 + 3p_0}},$$

где  $p_0$  — противодавление;  $\sigma_0$  — прочность на отрыв. Из этой оценки видно, что зона радиальных трещин может образоваться, если выполняется  $10^*$

неравенство  $\sigma(R_1) > 2\sigma_0 + 3p_0$ . Для фиксированных значений  $\sigma(R_1)$  и  $\sigma_0$  из этого неравенства следует, что радиальные трещины могут образовываться только на глубинах

$$h < (\sigma(R_1) - 2\sigma_0)/3\rho g,$$

где  $\rho$  — плотность породы.

Подставляя соотношение (8) в (12) и пренебрегая для простоты величиной  $p_0$ , получаем связь между  $R_2$  и  $R_1$  в виде

$$R_2 = R_1 \sqrt{\frac{\sigma_*}{2\sigma_0} \ln^{-1/4}(d_m/d_0)},$$

откуда видно, что отношение радиуса зоны радиальных трещин к радиусу зоны дробления падает с ростом масштаба взрыва.

Используя равенство (9), можно связать радиус зоны радиальных трещин, который определяет размер зоны разрушения, с радиусом полости

$$(13) \quad R_2 = \frac{a}{V^2} \left( \frac{E^2 \sigma_*^{n-2}}{n^2 \sigma_0^n} \right)^{1/2n} \left( \ln \frac{d_m}{d_0} \right)^{\frac{2-n}{4n}}.$$

Поскольку  $\Lambda$  всегда меньше 0,5, из выражения (13) следует, что с ростом величины  $d_m/d_0$  отношение размера зоны радиальных трещин к размеру полости падает. Это объясняется тем, что рост отношения  $d_m/d_0$  эквивалентен уменьшению эффективной прочности среды при дроблении. В результате растет объем зоны дробления, где происходит наиболее сильная диссипация энергии взрыва. Поэтому доля энергии взрыва, идущая на образование радиальных трещин, уменьшается, что и приводит к относительному уменьшению зоны радиальных трещин.

Для расчета коэффициента проницаемости в зоне радиальных трещин предположим, что трещины образуют две взаимно перпендикулярные системы плоских трещин равной густоты  $\Gamma$  и раскрытия  $b$ . Тогда коэффициент проницаемости будет определяться соотношением [9]

$$(14) \quad K = 1/6 b^3 \Gamma.$$

Величина  $2b\Gamma$  определяет пористость породы в зоне радиальных трещин. Поэтому физический смысл выражения (14) такой же, как и выражения (1). Отличие в коэффициентах связано с различием геометрий порового пространства в зоне дробления и в зоне радиальных трещин.

Пористость в зоне радиальных трещин можно вычислить, воспользовавшись приближением упругих стержней [3]. Тогда в предположении, что напряжения имеют статический характер, получим

$$b\Gamma = (1-\nu) \frac{\sigma(R_1)}{E} \left( \frac{R_1}{r} \right)^2,$$

где  $\nu$  — коэффициент Пуассона. Подставляя это выражение в соотношение (14) и учитывая (8), получаем

$$K_2 = \frac{(1-\nu)^3}{6} \frac{(\sigma_*)^3}{E} \left( \frac{d_m}{d_0} \right)^{-3/2} \left( \frac{R_1}{r} \right)^6 \frac{1}{\Gamma^2(r)}.$$

Для того чтобы определить зависимость коэффициента проницаемости от расстояния в зоне радиальных трещин, необходимо знать закон изменения  $\Gamma(r)$ . Вблизи фронта дробления густота трещин определяется минимальным расстоянием между микротрещинами  $d_0$ . Для остального объема зоны радиальных трещин возможны два варианта оценки этой величины: 1) постоянство  $\Gamma(r)$  с расстоянием в зоне трещиноватости, число радиаль-

ных трещин будет при этом величиной переменной; 2) число радиальных трещин с расстоянием не меняется, тогда  $\Gamma(r)$  будет меняться по закону

$$\Gamma(r) = \frac{1}{d_0} \left( \frac{R_1}{r} \right)^2.$$

Окончательное выражение для  $K_2(r)$  соответственно в первом и втором случаях получаем в виде

$$(15) \quad K_2(r) = d_0^2 \frac{(1-v)^2}{6} \left( \frac{\sigma_*}{E \ln^{1/2}(d_m/d_0)} \right)^3 \left( \frac{R_1}{r} \right)^6;$$

$$(16) \quad K_2(r) = d_0^2 \frac{(1-v)^2}{6} \left( \frac{\sigma_*}{E \ln^{1/2}(d_m/d_0)} \right)^3 \left( \frac{R_1}{r} \right)^2.$$

Таким образом, теоретически в зоне радиальных трещин коэффициент проницаемости может уменьшаться с расстоянием как по закону  $1/r^6$ , так и по закону  $1/r^2$ .

Выражения (15), (16) полезно сравнить с соотношением (11) при  $r = R_1$ . При этом получим выражение

$$K_1(R_1)/K_2(R_1) = 4,2 \cdot 10^{-2} / (1-v)^3 \cdot (\Lambda n)^3 \cdot (d_m/d_0)^2 \approx \\ \approx 0,15(\Lambda n)^3(d_m/d_0)^2,$$

где положено  $v = 1/3$ . Из этого соотношения видно, что если

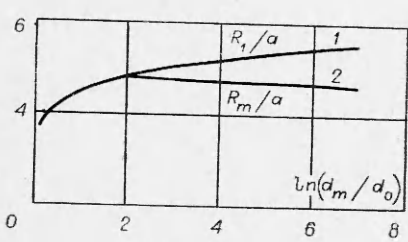
$$(17) \quad d_m/d_0 < 2,5(\Lambda n)^{-3/2},$$

то проницаемость в зоне дробления оказывается ниже, чем в зоне радиальной трещиноватости. Критическое значение параметра  $d_m/d_0$  равно 25 при  $\Lambda = 0,2$  и 75 при  $\Lambda = 0,1$ . Таким образом, только для очень мощных взрывов может выполняться неравенство, обратное неравенству (17). При этом наблюдается падение коэффициента проницаемости в момент перехода от зоны дробления к зоне радиальной трещиноватости. В остальных случаях при переходе из зоны дробления в зону радиальных трещин должно наблюдаться увеличение коэффициента проницаемости.

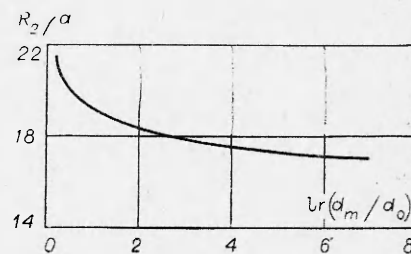
**Обсуждение результатов и сравнение с экспериментом.** Рассмотрим основные следствия, которые вытекают из полученных выше соотношений. Во-первых, оказывается, что радиусы зон дробления и трещиноватости не подчиняются закону подобия  $R_i \sim W^{1/3}$ , который обычно используется при анализе разрушающего действия взрыва. Отклонение от этого закона определяется значением величины  $d_m/d_0$ . На фиг. 1, 2 соответственно приведены отношения радиусов зон дробления (кривая 1 на фиг. 1) и трещиноватости к размеру полости в зависимости от  $\ln(d_m/d_0)$ . При этом брались следующие значения параметров:

$$\sigma_*/E = 5 \cdot 10^{-3}, \quad \sigma_0/\sigma_* = 3 \cdot 10^{-2}, \quad \Lambda = 0,1.$$

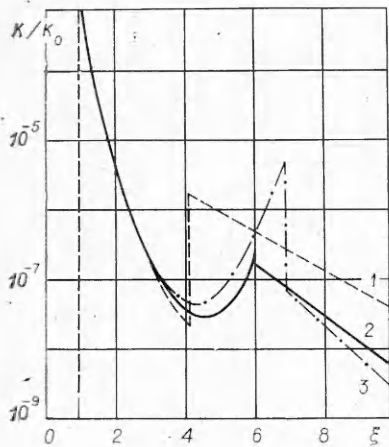
Как видно, наиболее сильная зависимость от масштаба взрыва наблюда-



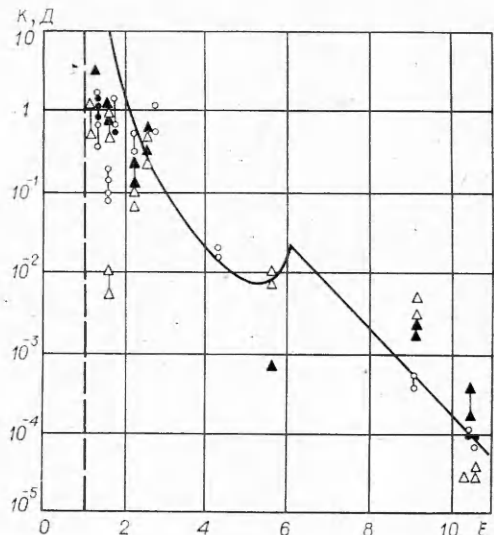
Фиг. 1



Фиг. 2



Фиг. 3



Фиг. 4

ется в области малых значений  $\ln(d_m/d_0)$ . В районе больших  $d_m/d_0$ , когда  $\ln(d_m/d_0) \geq 2$ , отношения  $R_1/a$  и  $R_2/a$  можно считать постоянными.

Более чувствительным к изменению отношения  $d_m/d_0$  является характер поведения коэффициента проницаемости. Это связано с тем, что величина  $\ln(d_m/d_0)$  входит в показатель экспоненты в выражении для  $K_1(r)$ . На фиг. 3 приводятся зависимости обезразмеренного коэффициента проницаемости ( $K_0 = 0.7 \cdot 10^{-2} d_0^2$ ) от безразмерного расстояния  $\xi = r/a$  для трех значений величины  $\ln(d_m/d_0)$ : кривая 1 —  $\ln(d_m/d_0) = 1$ ; 2 —  $\ln(d_m/d_0) = 3$ ; 3 —  $\ln(d_m/d_0) = 5$ . (В зоне трещиноватости построение велось по формуле (15).) Кроме того, при вычислении коэффициента проницаемости значение  $\beta$  принималось равным 2, что примерно соответствует затуханию максимальных напряжений в граните [10].

Из фиг. 3 хорошо видно, как эволюционирует характер зависимости коэффициента проницаемости от расстояния с ростом отношения  $d_m/d_0$ . Когда  $d_m/d_0$  близко к 1, наблюдается монотонный спад  $K(r)$  в зоне дробления. Причем из-за большей эффективной прочности более сильное разуплотнение среды происходит при этом в зоне радиальной трещиноватости. Это и приводит к тому, что на границе зон наблюдается резкое повышение проницаемости при переходе в зону радиальных трещин.

С увеличением отношения  $d_m/d_0$  зависимость коэффициента проницаемости от расстояния в зоне дробления становится немонотонной. На кривой  $K_1(r)$  наблюдается характерный минимум. Зависимость относительной координаты этого минимума  $R_m/a$  от значения  $\ln(d_m/d_0)$  показана на фиг. 1 (кривая 2). При  $r > R_m$  наблюдается рост коэффициента проницаемости с расстоянием, что связано с резким увеличением размера кусков раздробленной породы. В то же время из-за уменьшения эффективной прочности с ростом  $d_m/d_0$  разуплотнение в зоне радиальных трещин уменьшается, что приводит к уменьшению коэффициента проницаемости в этой зоне. При этом проницаемость в зоне трещиноватости может сравняться с проницаемостью в зоне дробления (кривая 2 на фиг. 3) и даже стать ниже (кривая 3 на фиг. 3).

Отметим, что из предложенной теории следует немонотонный характер зависимости коэффициента проницаемости от расстояния. Однако в

некоторых случаях указанная немонотонность может оказаться довольно слабо выраженной (например, кривая 2 на фиг. 3).

К сожалению, сравнение теоретических результатов с экспериментом в настоящее время сильно затруднено из-за недостатка экспериментальных данных. В данной работе для сравнения использовались результаты эксперимента «Хардхэт», приведенные в работе [2]. При этом выбраны значения параметров:  $d_0 = 0,5$  см,  $d_m/d_0 = 20$ ,  $K_0 = 1,75 \cdot 10^5$  Д.

График теоретической зависимости коэффициента проницаемости от расстояния совместно с указанными экспериментальными данными приведен на фиг. 4. Из приведенного сопоставления видно, что удается не-плохо описать как относительную зависимость коэффициента проницаемости от расстояния, так и его абсолютное значение. Отсутствие достаточного количества экспериментальных данных не позволяет более определенно ответить на вопросы о том, существует ли немонотонность в поведении коэффициента проницаемости, предсказываемая теорией, а также, какая из двух теоретических зависимостей (15) или (16) лучше описывает поведение  $K(r)$  в зоне радиальной трещиноватости.

Авторы выражают благодарность В. М. Цветкову за обсуждение работы и полезные замечания.

Поступила 12 X 1979

#### ЛИТЕРАТУРА

1. McKee C. R., Hanson M. E. Explosively created permeability from single charges.— Society of Petroleum Engineers Journal, 1975, vol. 15, N 6.
2. Charles R. Boardman. Engineering effects of underground nuclear explosions.— In: Symposium on Engineering with Nuclear Explosives. Las Vegas, Nevada, 1970. Vol. 1.
3. Родионов В. И. и др. Механический эффект подземного взрыва. М., Недра, 1971.
4. Николаевский В. И. О связи объемных и сдвиговых пластических деформаций и об ударных волнах в мягких грунтах.— ДАН СССР, 1967, т. 177, № 3.
5. Лейбензон Л. С. Подземная гидравлика воды, нефти и газа. Собр. трудов. Т. 11. М., Изд-во АН СССР, 1953.
6. Коллинз Р. Течения жидкостей через пористые материалы. М., Мир, 1964.
7. Дунин С. З., Сироткин В. К. Расширение газовой полости в хрупкой породе с учетом дилатансионных свойств грунта.— ПМТФ, 1977, № 4.
8. Разрушение. Сборник. Т. 1. М., 1973.
9. Ромм Е. С. Фильтрационные свойства трещиноватых горных пород. М.. Недра, 1966.
10. Родин Г. Сейсмология ядерного взрыва. М., Мир, 1974.

УДК 530.3

#### К ВОПРОСУ ОБ УЧЕТЕ МАСШТАБНОГО ФАКТОРА В МЕХАНИКЕ ТВЕРДОГО ДЕФОРМИРУЕМОГО ТЕЛА

*В. М. Александров, Г. П. Александрова,*

*Ю. П. Степаненко*

*(Ростов-на-Дону)*

Известно, что макроскопические свойства твердого тела зависят от его абсолютных размеров. Основанием для такого утверждения является характер взаимодействия частиц (т. е. атомов, молекул или молекулярных групп) твердого тела [1]. Частицы поверхности испытывают одностороннее воздействие со стороны других частиц тела, в то время как для глубинных слоев выполняется условие статистической симметрии силового взаимодействия частиц. В макро-